

## 応力至路を考慮した海底掘削斜面の安定解析

京都大学防災研究所 正員 小林 芳正  
大阪土質試験所 正員 橋本 正  
富士通アコム(株) 市川 康明

### 1. まえがき

FEM法等により土中の応力解析を行うためには、土の応力ヘビダミ関係を知ることが必要である。土は一般に非線型な応力ヘビダミ関係を示すので、従来この点を考慮した解析が行われた。多くの興味ある結果が得られていている。しかし、土の応力ヘビダミ関係をより詳しくみると、それは單に非線型であるというだけではなく、さらに応力の変化のいかん、いわゆる応力至路によるものも異なることが認められる。

この論文では、この点も考慮に入れ、原位置の土を代表する土試料について、原位置を再現すると考えられる平均主応力のもとで、何種類かの応力至路による排水条件下の3軸試験を行ない、それから得られた応力ヘビダミ関係を用いて海底掘削斜面の安定解析を行なった例について述べる。

### 2. 排水試験結果を用いることの妥当性

海底にある堆積層中に掘削を行なって斜面が形成されたと、斜面と構成する土は応力除去されて自由面のまゝに向かって膨脹する。個々の土要素の膨脹量は土の初期応力状態および除荷後の応力状態によつて一定値をとる。その過程の進行の速さは土が水を吸収する速さによつて規制され、比較的ゆっくり起きた。

この過渡状態において、土中の間隙水圧は時間と共に変化し、土の強度はこれに伴ひて変化する筈である。Skemptonによれば、主応力の変化  $\Delta \sigma_1$ 、 $\Delta \sigma_3$  による土中の間隙水圧の変化  $\Delta u$  の変化は次式で与えられる。

$$\Delta u = B \{ \Delta \sigma_3 + A (\Delta \sigma_1 - \Delta \sigma_3) \}$$

ここで  $A$ 、 $B$  は間隙水圧係数であるが、 $B$  は飽和土にあってはほとんど 1.0、 $A$  は本研究で問題とする 1) 固結砂質粘土および 2) やすかに過圧密の粘土ではそれが  $+1/4$  ～  $+3/4$ 、 $0$  ～  $+1/2$  である。(1) が 1.2、  
掘削による応力変化では一般に  $\Delta \sigma_3 < 0$ 、 $\Delta \sigma_1 - \Delta \sigma_3 < 0$  であるとすれば、間隙水圧の変化は更にならざる。土の強度と  $1/2 \tau = C + (P - u) \tan \phi$  を仮定すれば、土の強度は間隙水圧の効果に関する限り、土が膨脹する過渡状態において、初期よりも却つて増大していくことになる。

一方、土のせん断強度は、土の含水比とともにいちじるしく低下することが知られている。(1) が 1.2、斜面安定の検討は、土が十分水を吸収し、平衡状態に達した後强度について行なうのが最も安全側である。

以上の考察にちりばめ、掘削中の水中斜面の安定解析は、排水条件下における土を十分膨潤させたときの定数を用いて行なはよ」と判断される。

### 3. 解析地盤の土質断面と土質試験の方法

解析地盤は水深約 15m、T.P. - 15 ～ - 40m まで厚さ約 30m の堆積層、T.P. - 45m 以深は風化した花崗岩縁岩(D, CL-M, CN)からなる。堆積層は表面に約 1m の沖積砂層があるほかは、粘性土および砂レキを介する砂質土の洪積層からなり、上位より S-II (粘性土および砂(レキ)復土の不規則な混成層)、S-II (レキ復土層)、S-I (粘性土およびシルト復土層) に分類できる。(図 1)

今回行なわれた土質試験の目的は、(i) 解析地盤の土質と採取された試料との同定、(ii) 解析地盤でのせん断

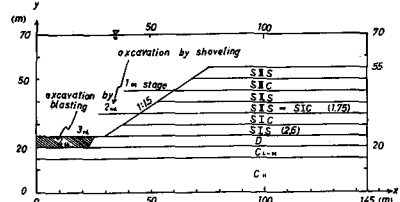


図 1 地層モデル

リンクができないために), (ii) 解析地盤の各層の土の間隔比の推定, (iii) 応力至路の関数とその土の応力ヒズミ関係を求めるにあつた。

(i) の目的には, サンプリング時の観察, および土の物理試験(粒度-液性-塑性限界試験)が行なわれた。

(ii) の目的には, 不擾乱試料(粘性土および細砂)および擾乱試料(砂)の圧密試験が行われた。原位置より上位の間隔比は, 粘性土および細砂について, 降伏点から現在の土カガリ压まで弾性的に除荷したときの値とした。砂については, いくつかの初期間隔比で, 調整された砂試料を現在の土カガリ压まで圧密し, 別途原位置で測定される密度換算結果と等しい密度をもつて同様の間隔比を見出した。

(iii) の目的には, 理想的には土中原位置の応力至路およびそれらの組合せによる試験を行なうが, 技術上および至路上の理由で多くの試験を行なうことには必ずしも。そこで, 今回は, 粘性土および細砂では不擾乱試料を砂では密度調整を行なう, たゞ試料を現在の土カガリ压まで圧密した後(技術上の理由から等方圧密とし), (a) 軸圧を増加させること, (b) 軸圧を増加させながら側圧を減少させること, (c) 軸圧を一定に保ち側圧を減少させること, (d) 軸圧, 側圧とも減少させることの4種の応力至路が応力を変化させときの軸ヒズミ $\epsilon_1$ , 橫ヒズミ $\epsilon_3$ を測定し, その他の場合には上記の試験結果から推定することとした。ヒズミ速度は0.25~1.0% / hrに保たれた。

#### 4. 土の応力ヒズミ関係および破壊に到達するまでのセン断ヒズミ

応力至路を図2のように角度 $\alpha$ (上向きを $0^\circ$ とし反時計まわりにとる)で表わすと, 軸ヒズミ $\epsilon_1$ , 橫ヒズミ $\epsilon_3$ は次式で近似できることがわかった。 (図3)

$$\epsilon_1 = \frac{a(\sigma_1 - \sigma_3)}{1 - c(\sigma_1 - \sigma_3)}, \quad \epsilon_3 = \frac{-b(\sigma_1 - \sigma_3)}{1 - c(\sigma_1 - \sigma_3)}$$

ここで $a$ ,  $b$ ,  $c$ は土の種類および応力至路の関数であり,  $a$ ,  $b$ はそれがれ $\epsilon_1$ ,  $\epsilon_3$ の大きさに関する量,  $c$ は $\sigma_1 - \sigma_3$ が漸近する線, すなはち土試料のセン断強度に関する量である。

上式から, 土の応力ヒズミ関係は

$$\nu = \frac{b\sigma_1 - a\sigma_3}{a(\sigma_1 + \sigma_3) + 2b\sigma_3},$$

$$\epsilon = \frac{(\sigma_1 - 2\nu\sigma_3)\{1 - c(\sigma_1 - \sigma_3)\}}{a(\sigma_1 - \sigma_3)}$$

で表わすことができる。(したがつて, 握削地盤を構成する各種の土について, 定数 $a$ ,  $b$ ,  $c$ を定めることが必要である。

試験結果から定数 $a$ ,  $b$ ,  $c$ を土の種類ごとにまとめて示せば図4 $a$ ,  $b$ ,  $c$ のようである。

土の応力ヒズミ関係として上のものを用いる場合問題となるのは, 上式は $\sigma_1 - \sigma_3 = 1/c$ のとき, 極度に $\nu$ が小さくなり, 仮りに計算ほどよりも結果の精度が悪くなることである。そこで, 今回は土の状態を定量的に示すパラメータとして土のセン断ヒズミを求め, この値で握削斜面の安定を判断することとした。(それがある値を越えた所を破壊と定義することとした) セン断ヒズミ $\nu$ は主応力 $\sigma_1$ ,  $\sigma_3$ に対するプロット(この例は図5のようである)。各種の土について同種の図を作り見な結果,  $\sigma_3$ を一定に保ち $\nu$ を増大させる普通の載荷

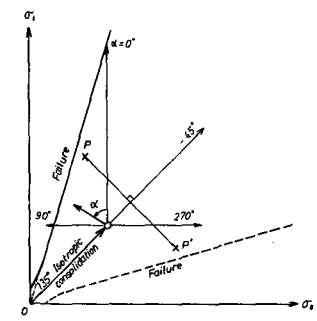


図2 応力至路のパラメータ $\alpha$

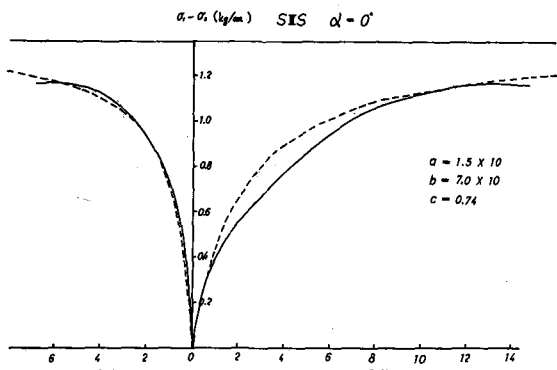


図3 土の応力ヒズミ関係

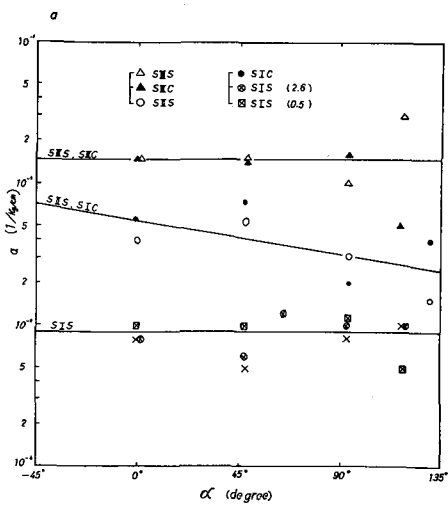


図4a. 各地層の土の応力一ヒズミ関係の定数a

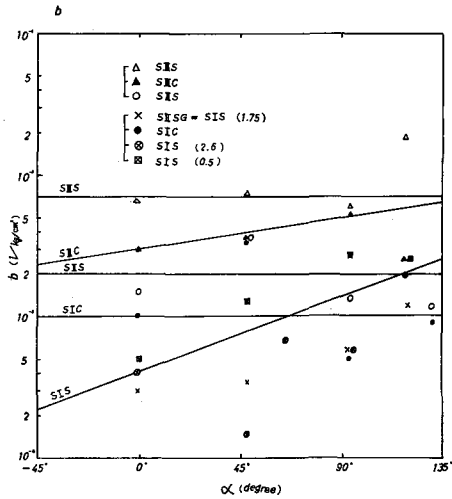


図4b. 土の応力一ヒズミ関係の定数b

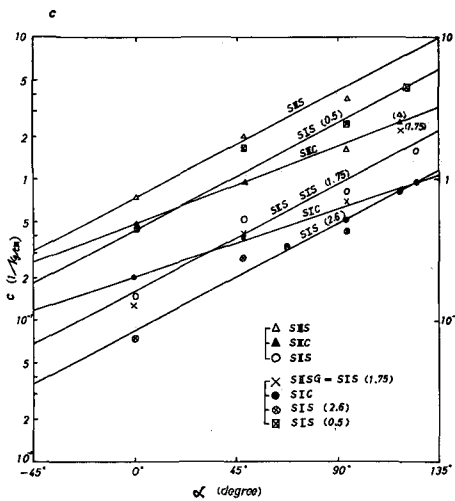


図4c. 土の応力一ヒズミ関係の定数c

が行われたときにくらべて、 $\alpha$ を一定に保ちながら減少させる（いわゆる Unloading）とより方が、より小さなヒズミで破壊に到達する傾向が認められる。そのときのヒズミの値は土の種類、応力経路によって数%～10数%の範囲にわたるといふ（表1）。土の物理定数は表2に掲げておこう。

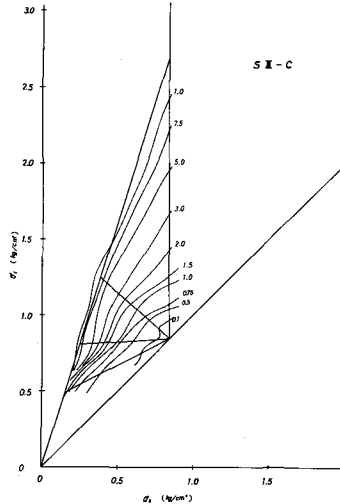
表1. 各層土の限界ヒズミと  
 $\delta = 1\%$ のときの破壊安全率

地層	ult	$\delta = 1\%$ のときの 安全率 ( $\delta = 10\%$ )
S III-S	4.0%	1.45
S III-C	7.5	1.78
S II-SG	2.0	1.07
S I-C	2.5	1.20
S I-S	2.5	1.22

表2. 土の応力一ヒズミ関係の定数a, b, c

地層	a	b	c
S III-S	$1.5 \times 10^{-2}$	$7 \times 10^{-3}$	$10^{-0.131+0.0230 \times 10^{-2x}}$
S III-C	$1.5 \times 10^{-2}$	$10^{-3.62+0.249 \times 10^{-2x}}$	$10^{0.9319+0.598 \times 10^{-2x}}$
S II-S	$10^{-3.26-0.263 \times 10^{-2x}}$	$2 \times 10^{-3}$	$10^{-0.798+0.2837 \times 10^{-2x}}$
S II-SG	$9 \times 10^{-4}$	$10^{-2.90+1.40 \times 10^{-2x}}$	$10^{-0.976+0.889 \times 10^{-2x}}$
S I-C	$10^{-3.26-0.263 \times 10^{-2x}}$	$1 \times 10^{-3}$	$10^{-2.699+0.344 \times 10^{-2x}}$
S I-S	$9 \times 10^{-4}$	$10^{-3.40+1.40 \times 10^{-2x}}$	$10^{-1.07+0.837 \times 10^{-2x}}$

図5. 破壊にいたるまでの応力ヒズミ



## 5. 応力解析の方法と結果

この研究では(i)地層ごとに物理定数が異なっていること、(ii)土の応力ヒズミ関係が非線型であること、(iii)応力至路の影響を考慮するなりに有限要素法によることになる。非線型解析の手法としては、応力ヒズミ曲線の勾配が相違する場合がありうることを考慮して、直接反復法による。

応力至路の影響は次のようにして考慮することとする。(i)ある掘削段階(実際には10mづつ5段階の掘削と仮定した)についての掘削前の応力解析を行ない、これを初期応力として記憶しておく。(ii)その掘削が行われた後の応力をまず暫定的なE<sub>1</sub>、v<sub>1</sub>を用いて求め、掘削前の応力との差E<sub>1</sub>-E<sub>2</sub>、応力至路の方向v<sub>2</sub>を求める。(iii)応力至路が定められたら、これに応じたE<sub>2</sub>、v<sub>2</sub>を用いて掘削後の応力解析を再び行なう。このプロセスを応力分布および応力至路がある一定の状態に近づくまでくり返す。すなわち、この方法によれば一般に非線型応力解析で行われるくり返しの他に、応力至路についてもくり返し行なることが必要である。又重のくり返しが行われる。このフローチャートを図6に示す。実際には少しにつづのくり返しは20回程度、すこひり返しは5回程度である。

解析の結果、掘削前の状態(重力だけが作用している)を基準として、各段階の掘削によって斜面は水平方向へはみ出る。掘削底面は隆起することがわかった。なかでもSⅢ-C層、SI-C層のせん断変形とははみ出しあいやすい。D岩盤从深の層の変形は微小であった。

このとき、各要素に生ずるせん断ヒズミ $\gamma = E_1 - E_2$ の分布は図7a,bのようである。図には $\gamma \geq 1.0\%$ 、 $1.0 > \gamma \geq 0.5\%$ 、 $0.5 > \gamma \geq 0.1\%$ 、 $\gamma < 0.1\%$ をわけて等高線が描かれている。

掘削斜面の勾配が1:1.5のときは、1.0%以上のヒズミはのり肩付近のSI-C層に生じ、0.5%以上のヒズミ領域はのり肩より15m後方から斜面に沿って、また斜面下部ではSI-C層に沿って斜面から約50m内部まで伸びている。0.1%以上の領域はSI-S層以浅の広い範囲に広がっている。

掘削斜面の勾配が1:2.0のときは、1.0%以上のヒズミは発生せず、0.96%がSI-C層の斜面沿いの要素に生ずるだけである。0.5%以上のヒズミはSI-C層沿いに約50m、またのり肩部ではSⅢ-C層から海底にかけて円弧状に生ずる。0.1%以上の領域はやはりSI-S層以浅の広い範囲に広がるが、1:1.5のときにくらべいくつか狭いようである。

この研究は本州四国連絡橋公団第二建設局の依託により行われたものである。

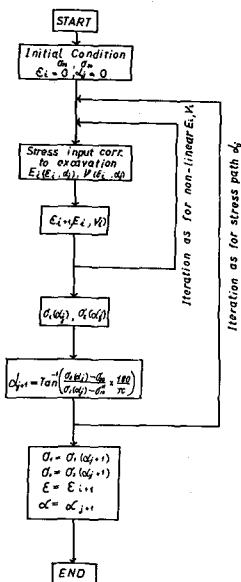


図6. 解析のフローチャート

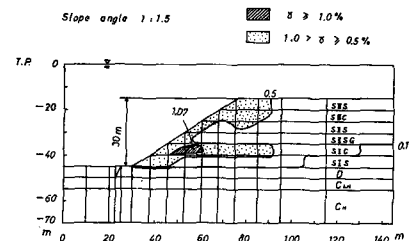


図7a 30m掘削時(勾配1/1.5)  
のせん断ヒズミ

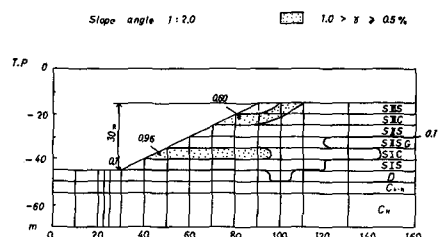


図7b 30m掘削時(勾配1/2.0)  
のせん断ヒズミ

# STABILITY ANALYSIS OF A SUBMERGED CUT SLOPE WITH STRESS-PATH DEPENDENCE

By Yoshimasa KOBAYASHI, Tadashi HASHIMOTO and Yasuaki ICHIKAWA

The finite element analysis of stresses in soil structures requires a stress-strain relationship of the soil which generally exhibits a non-linear character. The property used to be taken into consideration in stress analyses in soils yielding various useful results, however more closely observed the characteristic is not only non linear but stress-path dependent.

In this paper a finite-element approach to a stress analysis of a submerged cut slope is presented, where the stress-path dependence is also taken into consideration.

The site is situated 15 m below sea level and composed of diluvial sediments, which are classified into SIII-S, SIII-C, SII-SG, SI-C and SI-S from the sea bottom downwards, about 30 m in thickness underlain by a fairly to weakly weathered base rock of granodiorite.

A series of triaxial tests of soil materials from SIII-S to SI-S were executed on either undisturbed specimens for cohesive soil or fine sand, or specimens mould at an appropriate density for medium to coarse sand. In the tests following four types of stress path were followed on specimens having been consolidated isotropically under the pressures corresponding to their present overburden stresses: 1)  $\sigma'_1$  is increased while  $\sigma'_3$  is constant, 2)  $\sigma'_1$  is increased while  $\sigma'_3$  is decreased, 3)  $\sigma'_1$  is constant while  $\sigma'_3$  is decreased and 4) both  $\sigma'_1$  and  $\sigma'_3$  are decreased, where  $\sigma'_1$  and  $\sigma'_3$  represent axial and lateral pressures, respectively. All the tests were carried out with a strain rate of 0.25 to 1.0 %/hr.

For every stress path it revealed that the axial strain  $e_1$  and lateral strain  $e_3$  may be approximated by the following relations:

$$e_1 = a(\sigma'_1 - \sigma'_3) / [1 - c(\sigma'_1 - \sigma'_3)] \quad \text{and} \quad e_3 = -b(\sigma'_1 - \sigma'_3) / [1 - c(\sigma'_1 - \sigma'_3)],$$

where  $a$ ,  $b$  and  $c$  are constants depending on the type of soil and stress path and can easily determined from the test results. From the above relations the Poisson's ratio  $\nu$  and Young's modulus  $E$  are derived in the form of functions of  $a$ ,  $b$  and  $c$  as follows:

$$\nu = (b\sigma'_1 - a\sigma'_3) / [a(\sigma'_1 + \sigma'_3) + 2b\sigma'_3] \quad \text{and} \quad E = (\sigma'_1 - 2\nu\sigma'_3) [1 - c(\sigma'_1 - \sigma'_3)] / a(\sigma'_1 - \sigma'_3)$$

In solving a problem solutions in respect to stress or strain as well as stress path must be sought after iteratively, because the deformation properties are functions of stress or strain as well as stress path as evident in the above relations. A stress path can be represented by the direction(angle) of the straight line in the  $\sigma'_1 - \sigma'_3$  plane, which is determined by the stress states prior to and after individual loading or unloading. On each stage of approximation in respect to stress path a secant-modulus iteration is carried out to reach a solution of stress or strain. Every provisory solution of stress or strain enables to define a new stress path which is in general of higher degree of approximation than in the preceding stage. New constants  $a$ ,  $b$  and  $c$  are determined on the basis of the new stress path, and again a secant-modulus iteration is repeated. Thus, in order to solve a problem twofold loops of iteration for stress or strain as well as stress path must be carried out.

As a result of analyses it revealed that the ground dilates on the whole towards the slope surface and the excavated bottom. Shear deformation and squeezing of the SIII-C and SI-C layers are especially remarkable. The deformation of the underlying base rock is negligibly small.

In case of slope inclination 1/1.5 the shear strain at the slope end within the SI-C layer exceeds 1.0 % and the region of strains higher than 0.5 % appears on the sea bottom at 15 m behind the slope shoulder and extends shallow along the slope surface as far as the slope end, where it penetrates especially deep(50 m!) into the ground along the SI-C layer.

In case of slope inclination of 1/2.0 the strain higher than 1.0 % does not appear and only a small region at the slope end within the SI-C layer attains 0.90 % strain. One of the region exceeding 0.5 % strain extends into the SI-C layer as long as 50 m, and another appears at the slope shoulder.